

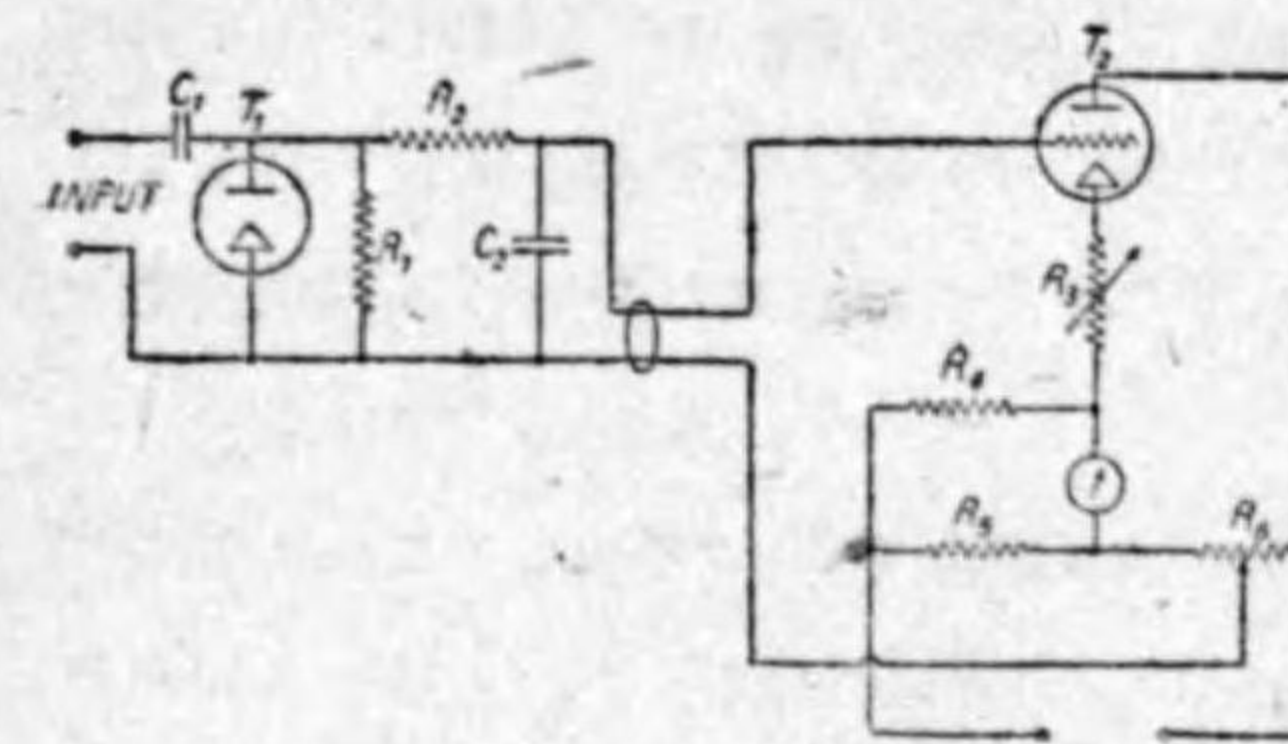
第 3.16 圖の代りグリッド側に小さいコンデンサー C_g を入れグリッド・フィラメント間に高抵抗、例へば $1M\Omega$ を並列に入れた第 3.17 圖の如き型式の真空管電圧計も屢々使用される。これではプレート特性検波の他にグリッド電圧振幅が増した時にグリッド特性検波をも多少同時に利用してゐる。それ故第 3.16 圖でメーター G に直列に入つた抵抗 R_p と同様に検波電流を多少抑止する作用が現はれる。且つこの時はグリッド検波特性の利き方が多くプレート電流の上昇は急激でなく測定範囲が廣い。なほこの型の特徴の一つは測る可き高周波電壓に直流電壓が重疊されてゐてもコンデンサー C_g では阻止し交流電壓だけが測れる事である。 C_g の値は比較的低い周波数、例へば $1000\sim$ に對し其の持つリアクタンスが R_f よりも相當低い程度に取る。大略 $0.01 \mu F$ あれば普通は充分である。斯様にこの型のものは第 3.16 圖のものより便利な爲により廣く使用されてゐるがグリッドにかける交流電壓を高くするとグリッド電流が流れる爲にインプット・イムピーダンスは稍低い。且つその値は交流電壓の振幅で變化し、振幅の増すほど低くなる。

通常斯様な真空管電圧計は周波数で低い値から高い方は $1 Mc$ 、若くは其以上まで大した誤差なしに使用出来る。此等の電圧計はそれにかける高周波電壓は正弦波形のものとして較正してあるが、要するに其振幅の最大値（尖頭値）を讀む計器と見る事が出来る。然し斯様な計器は必しも實效値や尖頭値を讀むものだけでなく、周波数の比較的低いものにあつては平均値を讀む様なものも工夫出来ぬ事はない¹⁾。其等は凡て茲には省略する。

以上の如き真空管電圧計は極めて便利なものであるが、電圧の測定範囲が狭い憾がある。通常第 3.16 圖の場合（これは A-型真空管電圧計と云はれてゐる）には $1.5 V$ まで、第 3.17 圖の場合（これは B-型真空管電圧計と云はれてゐる）には $3V$ までの測定範囲になつてゐる。且つ此等では測定範囲の下方のスケールでは読みが細かく誤差が多い。斯様な缺點の少い高周波

1) E. B. Moullin: J. I. E. E. 1930, p. 1039.

電圧計として最近に設計されたものに第 3.18 圖の如きものがある²⁾。



第 3.18 圖

この電圧計は二極整流管とコンデンサーとの組合に依るもので整流されて得た直流電圧を直流増幅するものである。コンデンサー C_1 は入力側に加へた高周波電壓の尖頭値に近い値まで充電される。そしてこのコンデンサー C_1 に出る電壓を直流増幅管とミリアムメーターで讀む。斯様な方法は以前からある回路であるが²⁾ 整流管、増幅管の回路とも新らしい特徴がある。それに依つて入力イムピーダンスを高く、且つ較正值の變化を無くして整流管や増幅管の定數に無關係になる様にしてある。

整流管 T_1 の回路で抵抗 R_1, R_2 は充分高く取つてコンデンサー C_1 並に整流管 T_1 の動作に影響が無い様になつてゐる。コンデンサー C_1 は充分大としてそのイムピーダンスを少くし高周波電壓の正サイクルではその尖頭値まで C_1 は整流電流で充電される。高周波電壓の負サイクルでは整流管 T_1 のアノードは陰極に對し正電位になる事がないから最早整流管には電流が流れず抵抗 R_1 にのみ流れる。即ち平衡状態では高周波電壓の正サイクルの尖頭値の瞬間だけ整流管に電流が流れる。抵抗 R_1 は入力側に加へる高周波電壓が下つた時にコンデンサー C_1, C_2 の電荷を無くす目的を有してゐる。抵抗 R_2 には直流は普通流れてゐない。たゞ高周波電壓の振幅が變つた時だけ電流が流れる。それ故この抵抗に依る電圧降下に對する補正是必要でない。

1) W. H. Tuttle: General Radio Experimenter, May. 1937.

2) この回路で特に超高周波電壓まで測れるやうにする爲に二極管内の電子の飛翔時間を短くする様にアノード、陰極間を僅に $0.005 mm$ としたものが最近試作された。これでは $10 V$ までの測定範囲を有し $1000 Mc$ まで誤差の少い電圧計が得られた。(M. von Ardenne: Hochfreq. Bd. 48, 1936, p. 117)

整流管 T_1 並に抵抗 R_1 に現はれる電圧は $R_2 C_2$ に依り交流部分を除去されて直流部分のみとして直流増幅管 T_2 にかける。この増幅回路には p. 61 第 1.52 圖の直流増幅器と同様に負性反結合を施してある。従つてグリッドにかける電圧に多少の高周波部分があるもそれは差支なく特別の濾波回路を必要としない。

この増幅回路では抵抗 R_3 に依り負性反結合を行つてゐる。これに依つて p. 61 の場合と同様に反結合係数 $\beta=1$ に取つてあるから (1.57) と同様に

$$\Delta E_p = \Delta E_\beta, \quad I_p = \Delta E_\beta / R_3 \quad (3.16)$$

となる。従つて (i) メーターの指示はグリッドに加へる直流電圧に殆んど正比例せしむる事が出来る。(ii) 感度は真空管の定数に實際上無関係となし得る。(iii) グリッド回路は通常の真空管特性の切斷點までのグリッド偏倚電圧よりも數百倍大なる直流電圧にも使用し得るから分壓器を必要としない。即ち (3.16) に示す如く感度は色々の測定範囲に對し抵抗 R_3 を變へればよい。即ち R_3 を 10 倍すれば同じブレート回路のミリアムメーターで測定範囲は 10 倍になる。實際には R_3 とグリッド偏倚電圧とを變化するだけで測定範囲を變へる事が出来る。なほ整流管 T_1 でつくられる直流電圧の極性は増幅管 T_2 のグリッドは負になる様になつてゐる。従つて過負荷に依つてこの計器を破損する事は絶対にない。即ち入力側に高周波電圧をかけば増幅管 T_2 のブレート電流は減るので最後に 0 となる。この圖の抵抗 R_4, R_5, R_6 に依りブレート電流の不要部分を消去し、同時に所要のグリッド電圧を與へる。

この真空管電圧計のインピット抵抗は極めて高く $5 M\Omega$ 位である。高い周波数になれば抵抗以外に入力回路の静電容量インダクタンス等を考慮しなければならぬ。二極管としては超高速度でも遮する様に橡實型真空管 955 を使用する。これで餘り誤差なしに 100 Mc まで測定し得る。且つ測定範囲は 0.1—1.5 V, 1.5—5 V, 5—15 V, 15—50 V, 50—150 V の 5 種になし得てスケールは殆んど一様である。これは正弦波形を測るとして實效値で目盛をする

が元來尖頭値を測る計器であるから複雑な波形でも尖頭値を求むるには計器の目盛を 1.414 倍すれば宜しい。

B. 真空管電圧計に依る諸測定

本項では真空管電圧計を用ひて普通行はれる可聴周波、及び高周法測定方法を述べ其應用を簡単に説明しやう。

(1) コンデンサー C_x インダクタンス L_x の測定 この目的には發振器と

インダクタンス L_2 を疎に結合し標準コンデンサー C_s を用ひて同調回路を發振器の周波数に共振せしむる。共振點は C_s の両端につないだ真空管電圧計 V.V. の振れが最大となる個所から。

求められる。次に未知コンデンサー C_x を標準コンデンサーと並列に入れて後者を變化して再び同調回路の共振點を求むる。この時の標準コンデンサーの値を C'_s とすれば未知コンデンサー C_x の値は

$$C_x = C_s - C'_s \quad (3.17)$$

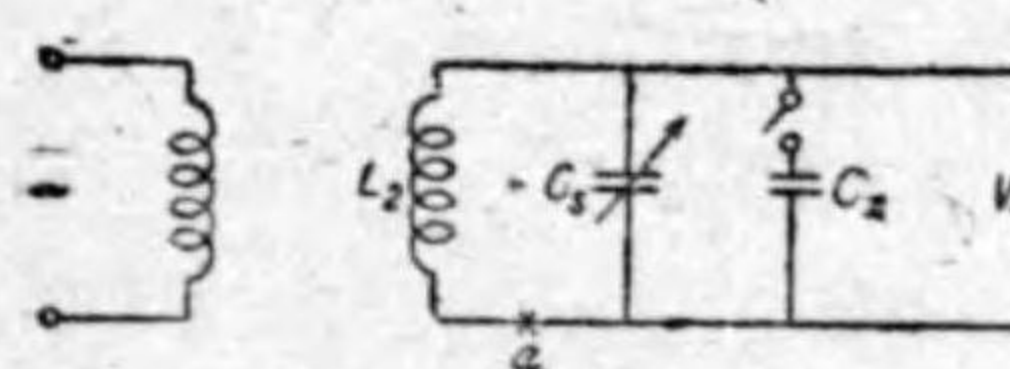
である。この方法は C_s と C_x とが大體同じ程度の大きさで且つ C_x の損失が餘り多くない特に正確に測る事が出来る。

次にインダクタンス L_x の値を測るには前と同様に先づ同調回路を L_2, C_s で共振したる事を真空管電圧計 V.V. にて確め、その時の C'_s を記録する。次に未知インダクタンス L_x を L_2 と直列に第 3.19 圖の a 點につなぎ再び共振點を求める。その時の標準コンデンサー C_s の値を C''_s とすれば、此等二つの場合に發振器の周波数は變らないから

$$L_2 C'_s = (L_2 + L_x) C''_s$$

$$L_x = \frac{C'_s + C''_s}{C''_s} L_2 \quad (3.18)$$

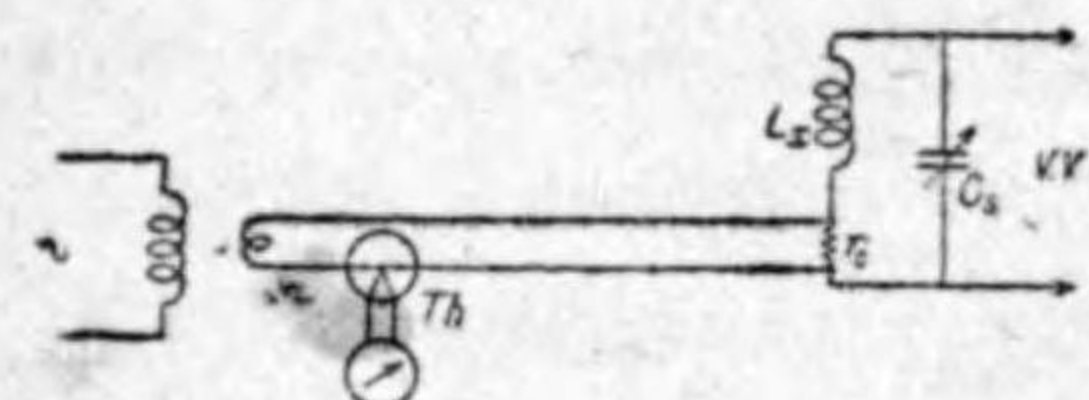
を得る。この式からインダクタンス L_x が既知であれば L_x を求むる事が出



第 3.19 圖

来る。この測定には未知インダクタンス L_2 ・自身が高周波発振器と結合してそれに電圧を誘起せぬ様に特に注意する必要がある。同時にまたこの L_x と L_2 との間にも結合が全然無い様にしなければならない。この測定も未知インダクタンス L_2 は既知の L_x と同じ程度の値のものゝ時に測定を正確に行はれる。なほ高周波発振器の周波数は餘り高く L_2 , L_x の固有周波数に近づいてゐない事も確めねばならない。

(ii) インダクタンスの良好度 Q の測定 インダクタンスの良好度 $Q = \omega L/r$ は所謂 Q -メーターと稱する真空器電圧計を用ひた計器に依り測定され



第 3.20 圖

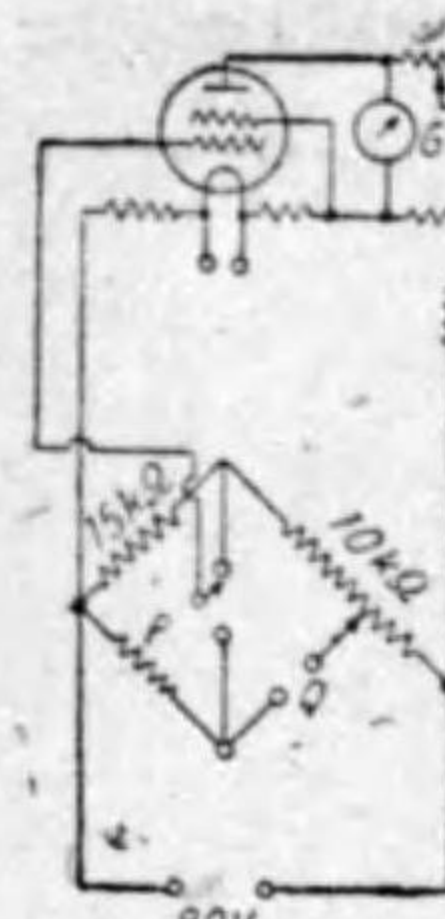
る。その回路は第 3.20 圖に示す如きものである。即ち高周波発振器に結合された低イムピーダンス二次回路がある。それに入れたサーモ、カプル Th にて回路の電流が讀める様になつてゐる。

發振器を調整して Th にて讀む高周波電流の値をある豫定の値とする。従つて抵抗 r_s に依つて同調回路 L_x , C_x に加へられる電圧 V_1 は一定である。測る可きインダクタンス L_2 を同調回路につなぎ發振器の周波数に共振させ標準コンデンサー C_s の端電圧を真空管電圧計で讀む。この値を V_2 とすれば抵抗 r_s が同調回路の全抵抗に比し極めて小さければ

$$V_2 = \frac{\omega L}{r} - \frac{V_1}{r_s} = Q \frac{V_1}{r_s} \quad (3.19)$$

である。 V_1 , r_s は既知であるから真空管電圧計の読み V_2 は直接 Q の値として目盛する事が出来る。同調回路の全抵抗 r の内、標準コンデンサー C_s の損失は通常の場合無視し得るから、これはインダクタンス L_2 の損失と見てよろしい。従つて (3.19) に依つて與へらるゝ Q をインダクタンス L_2 の良好度と見て差支ない。

(iii) メガオーム、メーター 真空管電圧計は極めてインプット・イムピ



第 3.21 圖

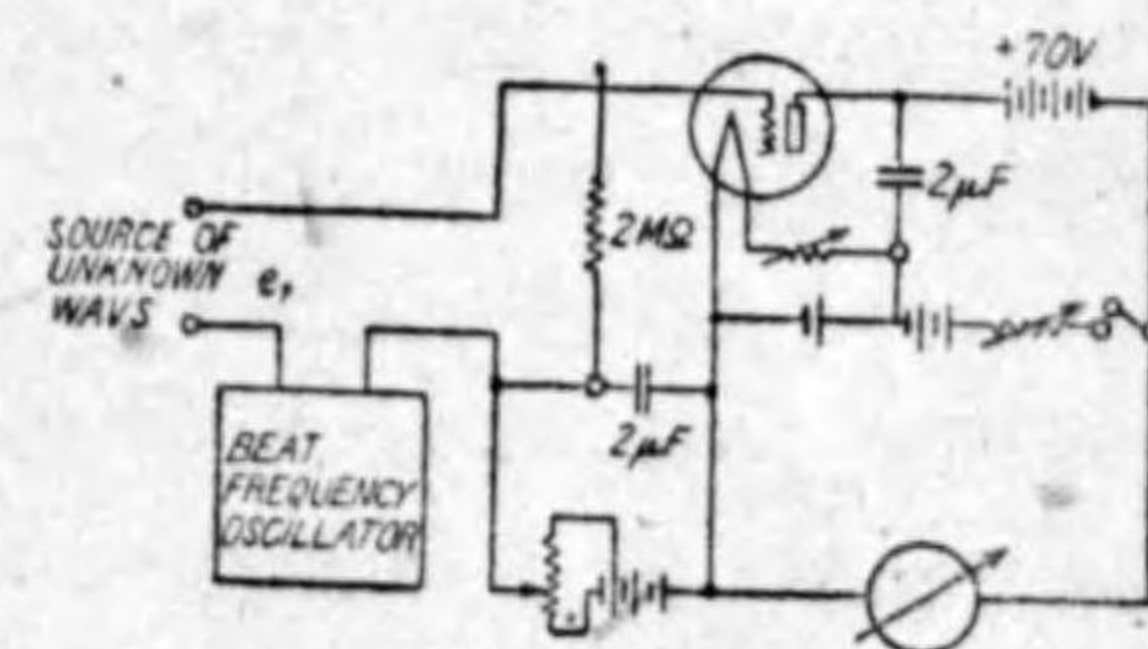
ーダンスが高いからこれを直流電圧計として使用しメガオーム程度の高抵抗を測る事出来る¹⁾。その方法は第 3.21 圖に示す如くで圖の上方に示すのは直流電圧を測る真空管電圧計で p. 189 に説明せる如き電橋接續をプレート側に使用したるものである。圖の下方に示された直流の電橋接續で未知抵抗は Q に挿入する。この電橋で $1\text{k}\Omega$, $10\text{k}\Omega$ の抵抗は低い側の抵抗回路で、 $10\text{k}\Omega$ の方は可變抵抗で $M\Omega$ で度盛したダイアルになつてゐる。 P , Q は高い側の抵抗回路で P は $0.1, 1, 10, 100$, 及び $1000 M\Omega$ に切換へて測定範囲を變へる事こ出来る。圖のスキツチを上方に倒したる後真空管電圧計 G の検流計 G の読みを 0 とする様にその抵抗を調整する。次にスキツチを下方に倒し P の抵抗を切換へて $10\text{k}\Omega$ の $M\Omega$ ダイアルを廻轉して真空管電圧計の G の読みを 0 とすれば宜しい。

C. 真空検波管に依る諸測定

前項では真空管電圧計を用ひた測定に就いて述べたが検波管は電圧計以外の用途にも使用せられる。その主なるものを次に述べやう。

第 3.22 圖

第 3.22 圖は真空検波管を用ひた可聴周波電圧の調波分析法である²⁾。圖に示す様に未知波形の電圧と鳴周波発振器の電圧とを重疊して検波真空管に加へる。但しこの真空管はプレート電流特性が前にも説明



第 3.22 圖

した様に拠物性特性（自乘特性）となつてゐる動作範囲に擇む事が必要である。例へば UY-171 を使用するとせば $E_p=70\text{ V}$ の時に $-E_g$ が 5 V 乃至

1) General Radio Experimenter, June-July, 1933.

2) C. Guy Suits: Proc. I. R. E. 1930, p. 178.

21V 位まではこの関係が成立する。然る時は未知波形の電圧の周波数 f_1 なるコムポーネント e_1 と鳴周波発振器の周波数 f_2 なる電圧 e_2 とに依つて生ずる検波電流は

$$\Delta I_p = \frac{a_2}{2} (e_1^2 + e_2^2) + a_2 e_1 e_2 \cos 2\pi(f_2 - f_1)t \quad (3.20)$$

の如き形になる。但しこの式で a_2 は (3.2) から知らるゝ如く

$$a_2 = \partial^2 f(E_p, E_i) / \partial E_i^2$$

である。

それ故 $f_2 - f_1$ が充分低い周波数になる様に鳴周波発振器の周波数 f_2 を擇むならば検波管のプレート検波電流は

$$\left. \begin{aligned} \Delta I_p' &= \frac{a_2}{2} (e_1^2 + e_2^2) + a_2 e_1 e_2 \\ \Delta I_p'' &= \frac{a_2}{2} (e_1^2 + e_2^2) - a_2 e_1 e_2 \end{aligned} \right\} \quad (3.21)$$

の範囲に振れが變動する。従つてその振れの變化の範囲

$$\Delta I_p' - \Delta I_p'' = 2a_2 e_1 e_2 \quad (3.22)$$

が知られまた電圧 e_1 の大きさが知られるからこの式から e_2 がわかる。これが未知波形電圧で $f_2 = f_1$ なる周波数のコムポーネントである。斯様にして調波分析が行はれる。

この方法で正確なる結果を得るに必要な條件は (i) 検波真空管の特性が

$$i = a_1 e + a_2 e^2 \quad (3.23)$$

の形で示され、それより高次の特性の殆んど無い事 (ii) 鳴周波発振器の與へる電圧の波形が純正弦波で高調波の無い事、並に其出力が発振器の周波数變動の範囲内で一定なる事である。

真空管を検波管とせる他の應用としては電力計がある。これは 50~60~等の商用周波数のものゝみならず可聴周波数の場合にも行はるゝもので其原理は熱線電流計を用ひた電力計に於て以前から知らるゝ所であるが其方法に

眞空検波管を用ひたものとして提案されたのは比較的新しい様である¹⁾。

第 3.23 圖は其方法の一つで、圖の 1 1' の端には求むる負荷回路の端電圧

v に比例せる電圧 $k_1 v$ を、2 2' の端には負荷に流す電流 i に比例せる電圧 $k_2 i$ を加へるのである。但し電流 i は電圧 v と位相角 φ を有するものと考へる。

第 3.23 圖

然る時は検波管の出力端 3 3' 現はるゝ検波電圧 V_s は調波分析器の時の (3.22) と類似のものとなつて

$$V_s = 2a_2 k_1 k_2 v i \cos \varphi = 2a_2 k_1 k_2 W \quad (3.24)$$

となる。従つてこの電圧 V_s は電力 W に正比例する。それ故この V_s を端 3 3' につないだ陰極線オシログラフで讀めば宜しい。これは直流であるから場合に依ればオシログラフの代りにマイクロ・アムメーターで讀んでも差支ない。この方法でも測定に誤差の出ない必要條件は調波分析の時と同様に検波管の特性が (3.23) で示され高次の項を含まない事である。これ以外には通常の電力計の時と同様に負荷電流を流す第 3.23 圖の 2 2' 分路の交流電圧が負荷の端電圧に比し極めて小さくなければならぬ事である。斯様な眞空検波管に依る電力計の長所は商用周波数のみならず可聴周波数の場合でも電力 W の測定を得る事である。これは一般的に云つて電力 W といふよりも位相角 φ の測定法と見なし得るから電力計といふよりも二つの電圧間の位相計と云ふが至當である。

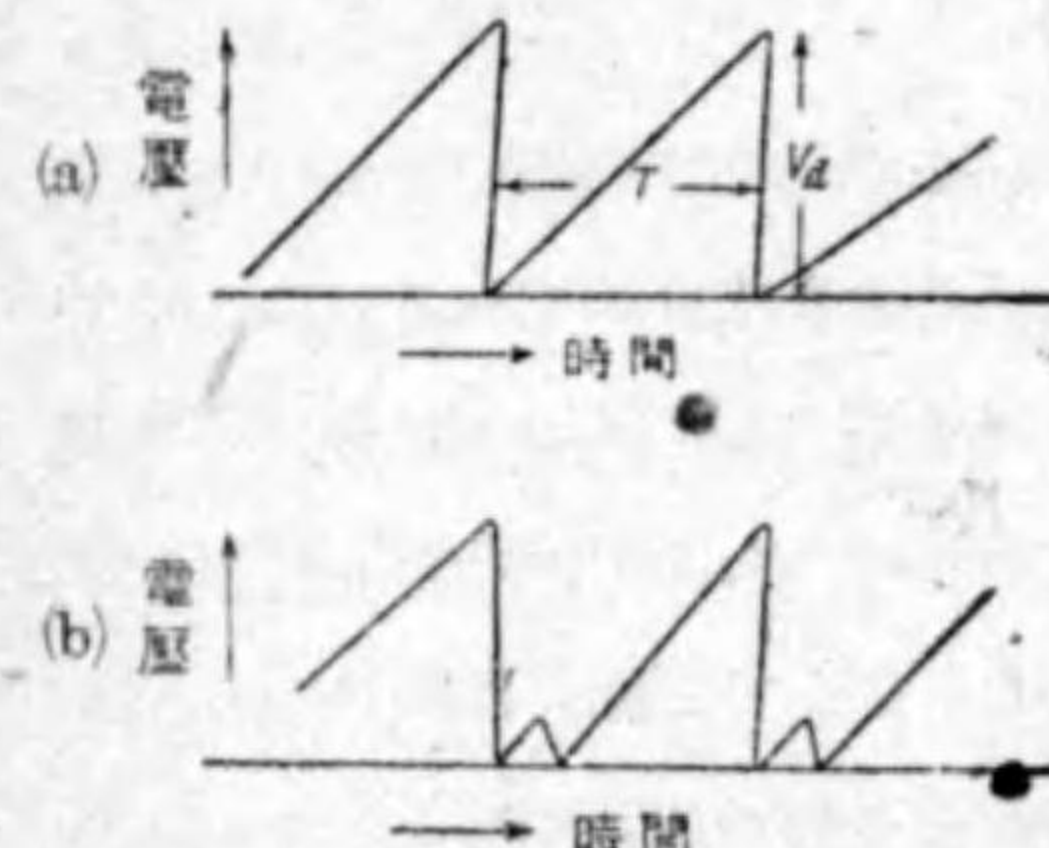
更にこの方法は高周波の場合でも利用出来ぬ事はない。それには負荷の高周波電圧 v 、電流 i に比例せる二つの電圧を同一の局部発振器でヘテロダイン検波を行つて可聴周波数、例へば 1000~の二つの電圧に變換するのである。充分に注意を施したヘテロダイン検波管にてこの操作を行へば斯様にして得

1) H. M. Turner and F. T. McNamara: Proc. I. R. E. 1930 p. 1743.

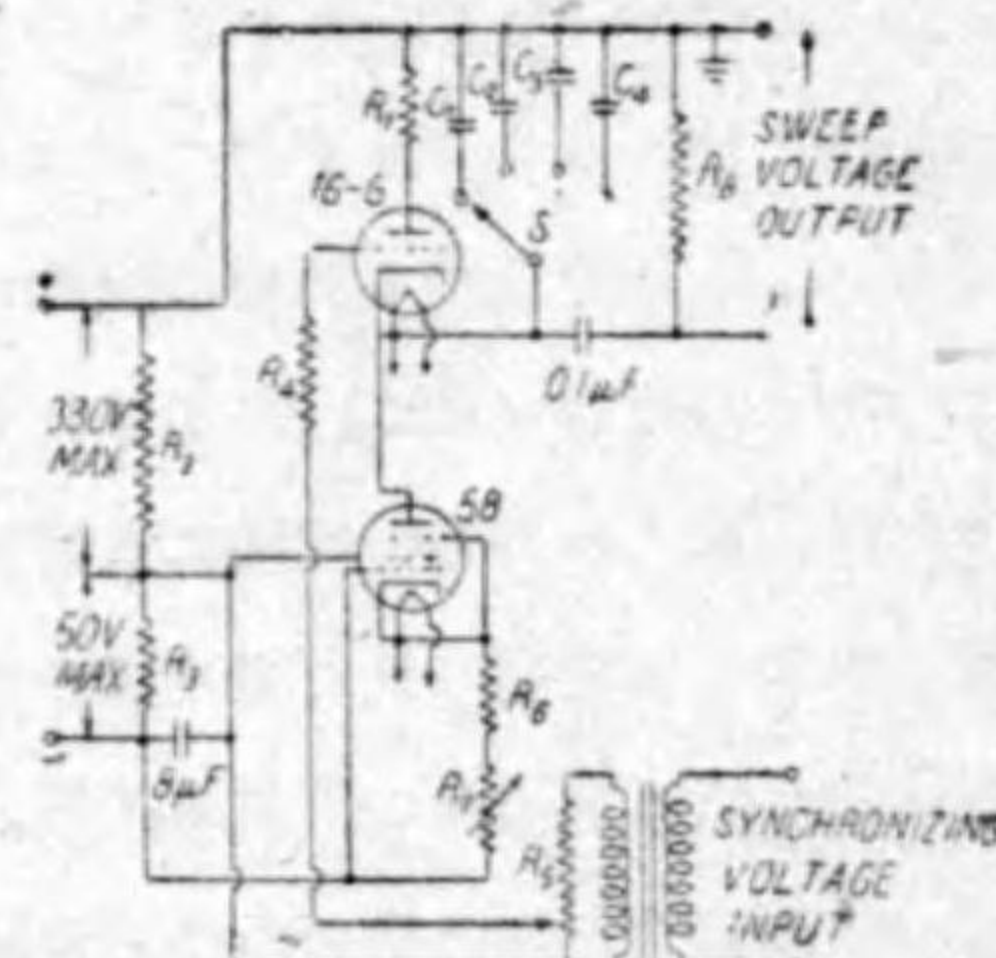
た $1000\sim$ の二つの電圧はもとの二つの電壓に夫々比例し且つ位相角 ϕ も高周波に於けるものと $1000\sim$ に於けるものと差違はない。従つて $1000\sim$ に變換した高周波 v, i に比例せる二つの電壓を用ひて電力 P , 若くは位相角 ϕ を測る事が出来る。

D. 真空管に依る電流制限器, 電圧調整器

前に真空管にてそのフィラメントよりの電子放出で真空管を流れる電流を制限する方法のある事を説明した。これに色々の方面に應用があるが其の一代表的の一例は陰極線オシログラフの時間軸(掃引用)發振器であらう。即ち是に依つて適當なる周期 T を有する所謂鋸歯状波形電壓をつくるのである。その波形は第 3.24 圖(a)に示す如く毎周期の最初の瞬間から時間と共に電壓が直線的に上昇する様にし T なる時間の後この電壓が再び 0 に戻



第 3.24 圖



第 3.25 圖

つてこれを繰返すものである。

斯様な目的に用ひられる鋸歯状電壓發振器の接続は第 3.25 圖の如くすれば宜しい。圖は稍複雑となつてゐるが要するに電流制限管に依りコンデンサーを充電するのである。電流制限管は二極管でもよいが五極管が更に適當してゐる。電流制限管である五極真空管と瓦斯入放電管 16-G とが直列に接続され、後者に並列に適當なるコンデンサーを入れたものである。真空管 58

は五極管であるからそのプレートにかける直流電壓が比較的低くなるまで一定電流を流し得る。今この真空管を流れる電流を I とすれば、58 に電流の流れてゐる間は放電管 16-G は作用せず従つてコンデンサー(例へば C_1)のみに電流が流れる。従つてその端電壓 v は

$$v = \frac{\int Idt}{C_1} = \frac{I}{C_1} t \quad (3.25)$$

の形に變化する。この電壓 v がある値 V_a に達した時に放電管 16-G は突然に放電を開始する。即ち

$$V_a = \frac{I}{C_1} T \quad T = \frac{V_a C_1}{I} \quad (3.26)$$

から周期 T は定められる。 V_a は放電管 16-G のグリッドにかける偏倚電壓である範囲内に變化し得るが、 v が V_a に達した時は真空管 58 のプレート電壓 V_t は直流電源電壓を E とせば大體に於て

$$V_t = E - V_a \quad (3.27)$$

となる。従つて真空管 58 に流れる電流が I から甚しく下らない範囲の V_t までコンデンサー C_1 を充電させれば宜しいのである。五極管を用ひれば V_a は E の 85%, 即ち V_t として E の 15% 位まで低い値としても (3.25) に近い關係で歪みの少い波形が得られる。

實際には周期 T を外部の或る周波数の電壓で同期する必要がある事が多い。その爲には圖に示す如き同期電壓を變壓器を用ひて放電管 16-G のグリッドにかける。そして外部同期電壓の周期 T' と同じ周期、若くはその分數 ($1/2, 1/3$ 等) となる可き周期 T となる様に (3.26) のコンデンサー C_1 を擇べば宜しい。斯様にして (3.26) の與へる周期 T の値が完全に外部同期電壓の周期 T' と分數關係になつてゐなくとも同期電壓が充分大であるならば引込み現象に依り同期され

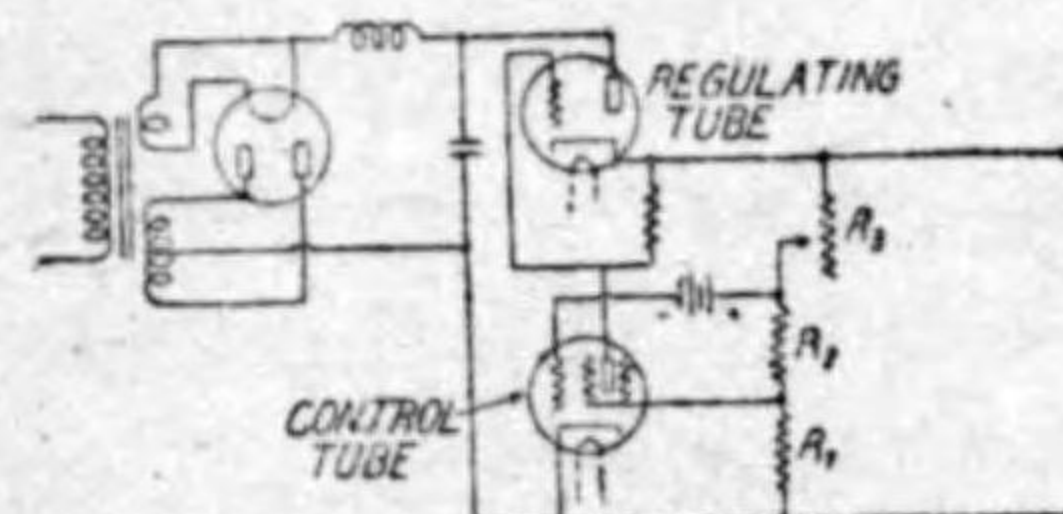
$$T = \frac{1}{n} T' \quad (3.28)$$

の関係となつた鋸歯状電圧を発生する事が出来る。圖のコンデンサー C_1, C_2 等は (3.27) の関係が大體成立する様に周期 T を (3.26) で變化せしむる目的のものでこれをスキッヂ S で切換へて回路につなぐのである。斯様にして得られた鋸歯状電圧 v はコンデンサーと並列にある高抵抗 R_0 の兩端から陰極線オシログラフの時間軸電圧として用ひられる。

斯様な鋸歯状電圧発振器で得られる周期は大體 1/20000 以上で、それ以上短いものは難しい。これは放電管 16-G がコンデンサーの電荷を放電した際の電離イオンの再結合にある時間を要するからそれで周期 T が制限されるのである。即ち餘りに周期 T が短いとコンデンサーが充電し初めて電圧 v が上昇する途中で第 3.24 圖 (b) の如く再び放電を開始し波形が不整となるからである。

以上ではコンデンサーを電流制限管で充電する時の (3.25) の電圧を利用したのであるが、是はコンデンサーを電流制限管で放電する時の電圧を利用する様にしても差支ない。その時は電圧波形は第 3.24 (a) 圖で時間の経過方向が逆になつた形になり、 v の最大値は E で最小値は V_t となるだけである。斯様にするにはコンデンサー C_1, C_2 等は真空管 58 と並列になる様に接続を變更すれば宜しい。

真空管の特殊應用は電流制限器のみに限らない。電圧調整管としてエリミネーター電源で出力側の直流電圧をば負荷の或範囲内で、また交流電源電壓のある範囲内で殆んど一定に保つ事が出来る。それには二三の回路があるかがその代表の一例を示せば第 3.26 圖である¹⁾。これは普通の兩波整流管と濾波回路から成りそれで所要の直流電圧よりも高い電圧を



第 3.26 圖

1) D. E. Trucksess: Bell Lab's Rec. Vol. 15, 1937, p. 298.

先づつくる。整流された直流は調整真空管を流れその管内の電圧降下は出力電圧の變化に應じて變化する様に制御真空管で制御される。斯様な裝置での自動調整作用を良好ならしむるには出力電圧の僅少の變化 (例へば 1/2 V) で調整真空管の電圧降下の比較的大なる變動 (例へば 100 V) がある様にしなければならぬ。その爲には制御真空管のグリッド電圧の僅かの變化でその管内の電圧降下が非常に變化し、從つて調整真空管のグリッド電圧が多く變はる様にしてある。制御真空管のグリッド偏倚電圧は圖の電池に依る一定値のものと抵抗 R_1, R_2 に依る出力電圧の變動を與へるものとから成つてゐる。斯様な出力電圧の變動に依る制御真空管、調整真空管の動作は殆んど瞬間的に行はれると考へて良く 過渡現象は 1/1000 秒の程度である。自動調整の行はるゝ出力電圧の値を變へるには圖の抵抗 R_3 の値を變化すれば宜しい。これに依り出力電圧を例へば 130 V から 250 V の範囲で自由に變へる事ができる。そして 130 V の時は 100 mA 近、250 V の時は 50 mA 近の電流を負荷、並に交流電源電圧の變動に係らず取つて出力電圧を 0.25% 以内に一定となし得る。

なほ斯様な調整回路の長所としてこれは同時に濾波回路として動作してゐる事が擧げられる。即ち出力側に現はれたハム電圧は制御真空管、調整真空管で反結合され自動的に減少する様になつてゐる。斯様な性質がある爲、濾波回路は塞流線輪とコンデンサーとからなる 1 セクションで差支なく、實際的には 2 セクションを使用したと同様にハム電圧が消去されてゐる。

索引

ア

- acorn tube 25
 壓縮率 66
 壓伸器 66
 安定化せる反結合増幅回路 57
 調定器への應用 60, 191
 雜音消去への應用 62

イ

- 位相に依る變調 122
 位相變調の檢波法 126
 インダクタンスの測定 193

ウ

- 鳴り周波數 27
 鳴周波發振器 141

エ

- A一級増幅 87
 Eccles relay 57

オ

- 大阪管 157
 オートダイン檢波法 182
 音叉發振器 143
 音量伸張器、及び音量壓縮器 65

カ

- 下側帶波、下側周波 117
 硬い發振狀態 78
 可變增幅率遮蔽真空管 35
 間歇振動(發振器) 91

キ

- 寄生振動(發振器) 91
 Kippelais 57
 共面グリッド真空管 35
 共振線制御の發振器 105
 局部發振器(ヘテロダイン發振器) 26
 鋼齒狀電壓發振器 198
 Q—メータ 194

ク

- グリッド特性檢波 168
 グリッド入力(送信管) 97
 グリッド變調法 120, 123

コ

- 高周波増幅器 21
 五極管の出力増幅管 34
 高周波用五極管 53
 五極管に依る變調法 124
 Colpitts 回路 84
 固有能力(真空管の) 5
 コンデンサーの測定 193

サ

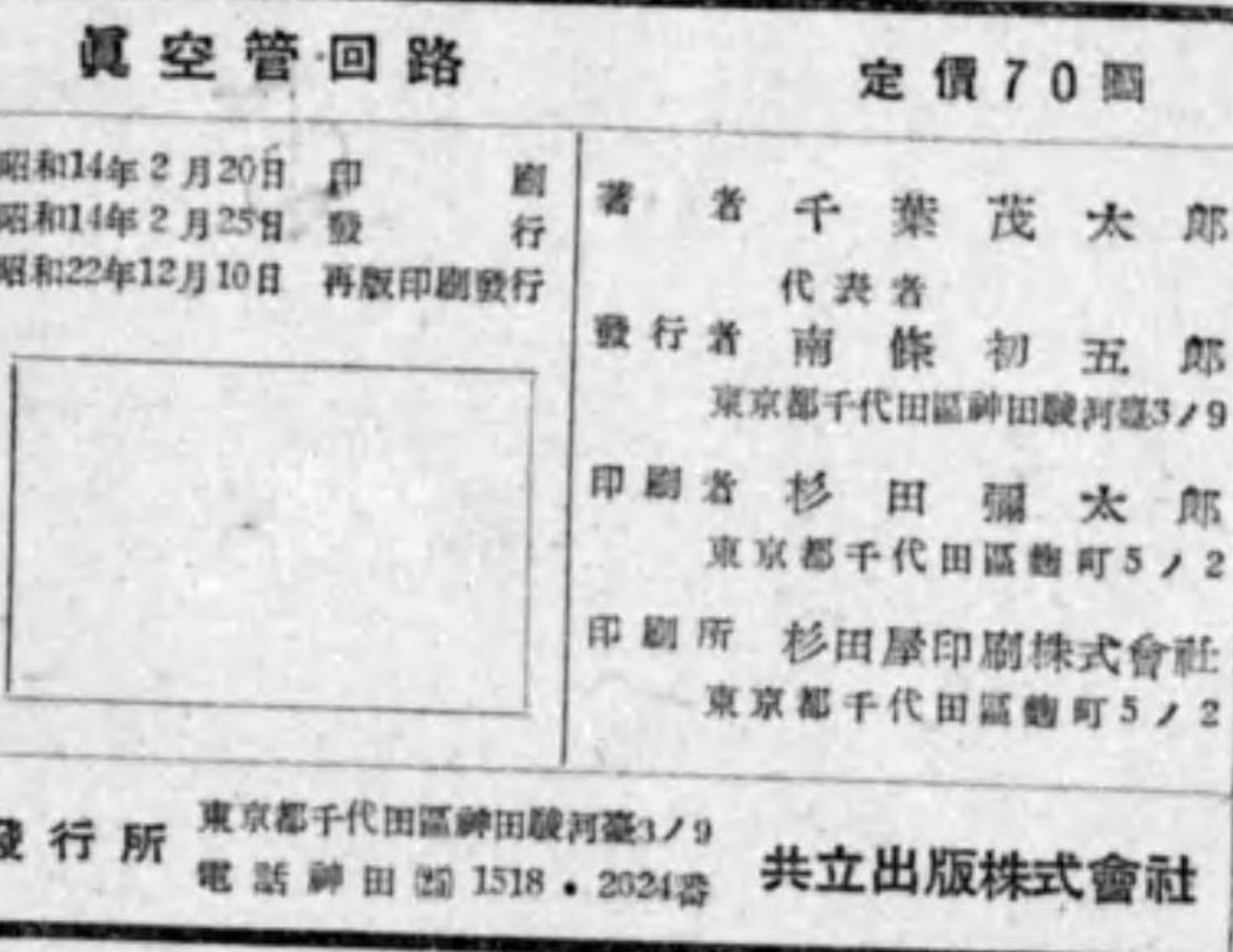
- 再生回路 53
 再生式檢波法 172
 再生用線輪 173
 塞流線輪變調法 122
 雜音抑制制御(N. S. C.) 64
 三極真空管の定數 1
 瞬射效果(の雑音) 38

シ

C一級増幅	34, 87, 93, 114
時間軸発振器	198
弛張振動	146
磁電管(マグネットロン)	153
自動音量制御(A. V. C.)	63, 179
遅延自動音量制御(D. A. V. C.)	64
自動周波数制御(A. F. C.)	147
遮蔽グリッド真空管	43
出力増幅器	29
上側帶波, 上側周波	117
自励振回路	82
周波数過倍器	114
周波数に依る變調	120
周波数變調電波の検波方法	126, 185
周波数變換管	184
周波数變動の少い自励振回路	111
小電力變調法	125
磁歪発振器	144
真空管定数の測定法	5
静的決定法	5
動的決定法	7
真空管電圧計	188
A型, B型	190
真空管電圧計に依る諸測定	193
真空管に依る検波回路	163
真空管に依る増幅回路	1
真空管に依る電圧調整器	198
真空管に依る発振回路	71
真空管及び其回路の雜音	35
真空検波管の測定上の應用	188
真空検波管に依る調波分析	195
真空検波管の諸變形	172
伸張率	66
振動發生條件の吟味	73
振幅に依る變調	120
振幅濾波器	68
ス	
水晶振動子	99
AC一切方, AT一切方	102
BC一切方, BT一切方	102
Curie一切方(X一切方)	99
Y一切方	100
水晶發振器	99
Sputter noise	42
スーパー・ヘテロダイン増幅器	26
セ	
Self quenching(超再生檢波法の)	177
撲擗型増幅器	19
ソ	
掃引用發振器	198
相互コンダクタンス	2
送信回路の keying, 並に變調	116
送電線制御に依る發振器	104
增幅管に依る再生作用	71
增幅定數	2
增幅度の測定	26
側帶波, 側周波	117
タ	
大電力送信回路	93
大電力變調の諸問題	128
大電力變調法	125
ダイナトロン發振器	151
真空管に依る電壓調整器	198
真空管に依る発振回路	71
短波送信回路	114
チ	
チックラー線輪	173
中間周波數	26
直列變調法	122
直流增幅器	11
超再生式檢波法	176
超短波發振器	153
ス	
テ	

抵抗結合増幅回路	70
定電壓變調法	122
定電流變調法	122
電子振動	157
電信用增幅器	70
電波に依る通信方法	116
電流制限器	57, 70, 198
ト	
等價回路(真空管の)	3
特殊可變周波發振器	147
特性曲線(真空管の)	1
特殊振動發生回路	141
特殊增幅回路	63
特殊超短波發振器	153
同調回路なき發振器	145
橡實型真空管	25, 51
Doherty の增幅法	130
ナ	
内抵抗	2
Nyquist の criterion	71
ニ	
二極管に依る検波	163
二周波發振器	75
二重檢波法	27
ニュートロダイン回路	46
ネ	
熱的擾亂の雜音	36
ハ	
Heising 變調法	122
發振回路の諸性質	71
發振器の異常現象	91
發振器の高調波	89
發振器の周波數と其變化	89
發振器の出力, 並に能率	85
ヘ	
平衡復調器	140
平衡變調器	29, 137
ヘテロダイン檢波法	180
ヘテロダイン發振器	26
變壓器結合增幅器	17
變換コンダクタンス	185
變換增幅度	185
變換の法則(イムピーダンス・アド	
バーカンゼン・クルツ 振動(B-K 振動)	157
Hartley 回路	82
ヒ	
B一級増幅	34, 87, 93, 114
非共振性送電線制御の發振器	104
非撲擗型増幅器	19
引込み現象(發振器)	85, 142, 186
飛躍現象(增幅回路の)	56
フ	
ブッシュ・フル增幅器	30, 48
ブッシュ・フル發振器	80
フリッカ-效果	38
ブレート・グリッド靜電容量の影響	42
ブレート特性檢波	164
ブレート負荷の影響(發振器)	78
ブレート變調法	121
floating carrier 法	133
ブロッキング(發振器)	92
ヘ	
平衡復調器	140
平衡變調器	29, 137
ヘテロダイン檢波法	180
ヘテロダイン發振器	26
變壓器結合增幅器	17
變換コンダクタンス	185
變換增幅度	185
變換の法則(イムピーダンス・アド	

ミッターンス).....	4
片側帶送信法	136
變調度	117
變調度の測定	127
變調の諸方法	119
木	
ホモダイン検波管	183
マ	
マイクロフォニック雑音.....	40
マグネットロン(磁電管)	153
Multivibrator回路.....	146
メ	
メガオーム・メーター	194
ヤ	
軟い發振狀態.....	78
<hr/>	
ヨ	
抑制グリッド變調法	122
リ	
良好度 Q	
共振線の良好度	107
リアクタンスの良好度.....	79
良好度の測定	152, 194
レ	
Reinartz 回路.....	175
ワ	
矮小波	160
One stroke relay.....	57
牛	
位相計	197



配給元 東京都千代田區神田淡路町2ノ9 日本出版配給株式會社

549.2-C42六



1200500746405

終